

« - 11: »  
 « - 11: ».- 2015.- .1, .3.- .124-128

..

[1].

N-

(N=3).

$$J = J \quad J : \quad (1)$$

(1) [2]

$$b = a \cdot \sqrt[4]{\frac{8}{\sqrt{3}}} \cong 1,466 \cdot a, \quad (2)$$

b - ;  
 a - .

( 19804-91 « »).

(2)

( 1):

1 -

a,	b,	$J = J , ^4$
0,300	0,440	0,000675
0,350	0,515	0,001251
0,400	0,590	0,002133

$F_D$

( 2.02.03-

$I_L=0,2; 0,4;$

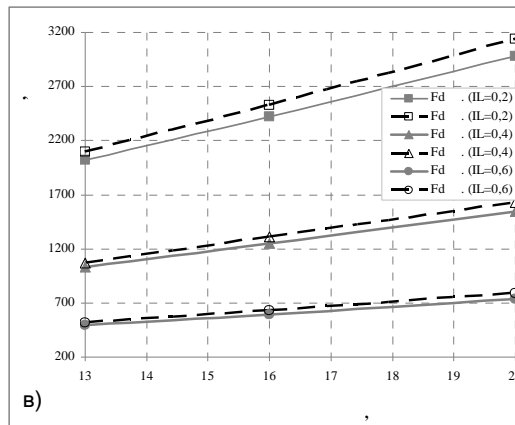
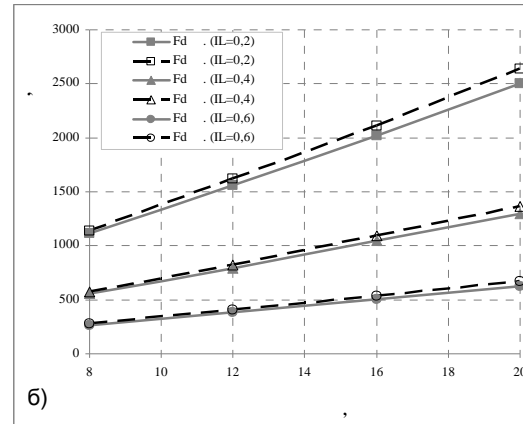
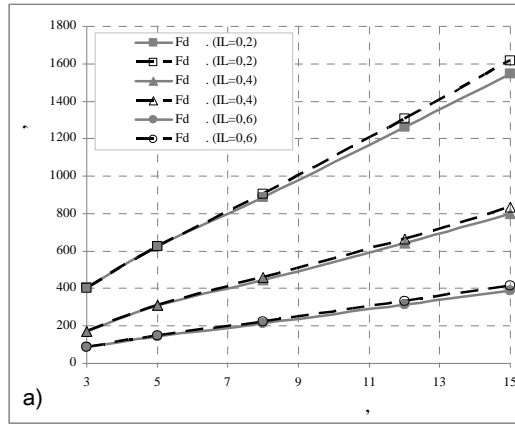


Рисунок 1 – Зависимость несущей способности забивных висячих свай квадратного и треугольного сечения от длины:

а) для  $J = 6,75 \cdot 10^{-4}$  ;

б) для  $J = 12,51 \cdot 10^{-4}$  ;

в) для  $J = 21,33 \cdot 10^{-4}$  ;

0,6 [3].

1.

				$F_D$
		15	0,30	
		4,5%	-	
$I_L=0,2$	$I_L=0,2$	6,1%		
$I_L=0,6$				
		20	0,35	
		5,3%	-	
$I_L=0,2$	$I_L=0,2$	6,8%		
$I_L=0,6$				
		20	0,4	
		5,2%	-	
$I_L=0,2$	$I_L=0,2$	6,7%		
$I_L=0,6$				

7%,

[4,5].

7,5%.

7,5%.

$F_D \therefore$

$$F_D = \frac{F_D}{V},$$

(3)

$$V = \frac{F_D}{}$$

;

$F_D \therefore$

$F_D,$

$V,$

$I_L=0,2; 0,4; 0,6$

2.

$F_D$  : 0,30

6,1% 12,2%

$I_L=0,2$  6,7%

$I_L=0,4$

$I_L=0,6$

0,35

12,2% 7,1% 13,9%

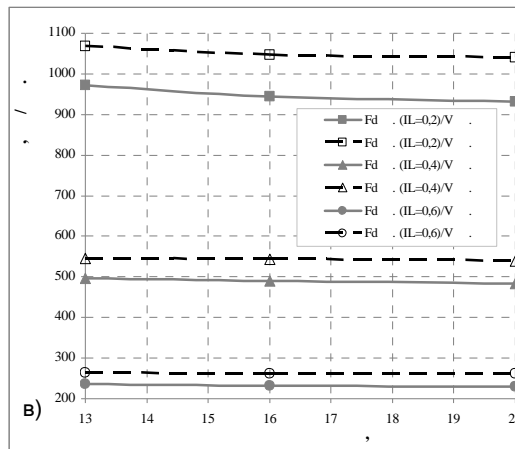
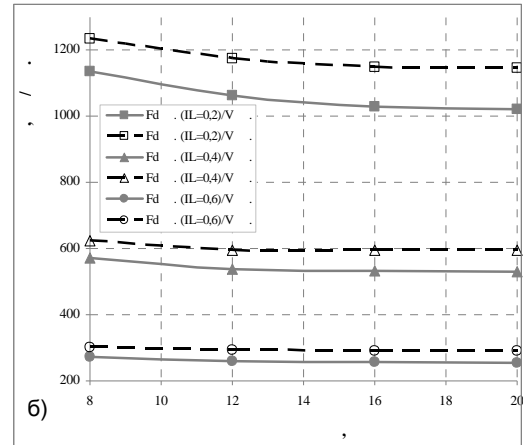
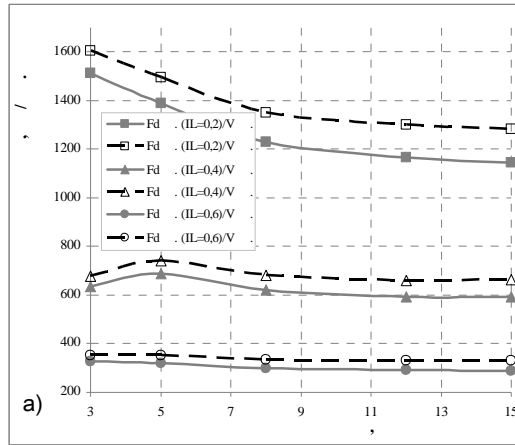


Рисунок 2 – Зависимость удельной несущей способности забивных висячих свай квадратного и треугольного сечения от длины:

а) для  $J = 6,75 \cdot 10^{-4}$  ;

б) для  $J = 12,51 \cdot 10^{-4}$  ;

в) для  $J = 21,33 \cdot 10^{-4}$  ;

8,9% 12,3%

$I_L=0,2$  8,9% 12,4%

$I_L=0,4$

$I_L=0,6$

0,4

10,0% 11,6%

$I_L=0,2$  10,1%

$I_L=0,4$

$I_L=0,6$

10,7% 13,9%

11,7% 12,0% 13,3%

$$I_L = 0,2 \div 0,6$$

6% 14%.  
:  
1.

6% 14 %.

2.

1. 26087.  
14.09.2012, 9.

2. - 13- . - : , . . .  
., 1986. - 544 .

3. . . . , . . . . - :  
, 1983.- 328

4. . . . .  
- : . . . , 1989. - 215 .

5. Jung, K., Chun, B., Park, S., Choi, H. Test Construction of Cast-in-Place Concrete Energy Pile in Dredged and Reclaimed Ground// Journal of Performance of Constructed Facilities. V. 29, No. 1, ArticleNumber: 04014035, Feb 2015